

تأثیر مشخصات سنگی سکویی کلاس I بر پایداری هیدرولیکی موج شکن سکویی چندلایه

مجید احسانی^۱، محمد نوید مقیم^{۲*}، مهدی شفیعی فر^۳

^۱ دانشجوی دکتری دانشکده مهندسی عمران، دانشگاه صنعتی اصفهان؛ majid.ehsani@cv.iut.ac.ir

^۲ استادیار دانشکده مهندسی عمران، دانشگاه صنعتی اصفهان؛ moghim@cc.iut.ac.ir

^۳ استاد سازه‌های دریایی، دانشکده مهندسی عمران و محیط زیست، دانشگاه تربیت مدرس؛ shafiee@modares.ac.ir

اطلاعات مقاله	چکیده
<p>تاریخچه مقاله: تاریخ دریافت مقاله: ۱۳۹۸/۰۴/۰۳ تاریخ پذیرش مقاله: ۱۳۹۸/۰۸/۱۱</p> <p>کلمات کلیدی: موج شکن سکویی چندلایه پایداری مدل سازی آزمایشگاهی کلاس سنگی I</p>	<p>یکی از مهمترین مسائلی که در طراحی موج شکن‌ها مورد توجه است، ارزیابی پایداری سازه در برابر امواج برخورده است. از این‌رو در مقاله حاضر، تأثیر پارامترهای مختلف بر پایداری هیدرولیکی موج شکن سکویی چندلایه مطالعه شده است. برای رسیدن به این هدف، مدل آزمایشگاهی دو بعدی موج شکن سکویی چندلایه در کanal موج دانشگاه تربیت مدرس ساخته شد و تحت اثر امواج نامنظم با طیف انرژی جوانسواب، مورد بررسی قرار گرفت. در این مطالعه شناخت تأثیر پارامترهای مختلف مرتبه با سکو از سطح ایستابی و عمق آب پای سازه بر سطح آسیب موج شکن سکویی چندلایه مدنظر قرار گرفت. پارامتر ارتفاع سنگ کلاس I، به عنوان یک پارامتر جدید شناخته شده و نحوه اثرگذاری این پارامتر بر پایداری موج شکن سکویی چندلایه بررسی شد. نتایج این بررسی نشان می‌دهد که با افزایش ارتفاع سنگ کلاس I، اتفاق انرژی موج برخورده بیشتر شده و منجر به کاهش سطح آسیب سازه می‌شود. همچنین با افزایش عمق آب پای سازه به میزان ۲۳ درصد، نیروی وارد بر موج شکن افزایش یافته که منتج به افزایش ۲۵۰ درصدی خرایی سازه شده است. علاوه بر این، نتایج نشان می‌دهند که با افزایش ۴۰ درصدی تراز سکو از سطح ایستابی، سطح فرسایش آرمور به میزان ۶۷ درصد بیشتر خواهد شد.</p>

The Effect of Stone Class I Characteristics on Hydraulic Stability of Multi-Layer Berm Breakwaters

Majid Ehsani¹, Mohammad Navid Moghim^{2*}, Mehdi Shafieefar³

¹ Ph.D. Candidate, Department of Civil Engineering, Isfahan University of Technology; majid.ehsani@cv.iut.ac.ir

² Assistant Professor, Department of Civil Engineering, Isfahan University of Technology; moghim@cc.iut.ac.ir

³ Professor, Department of Civil and Environmental Engineering; Tarbiat Modares University; shafiee@modares.ac.ir

ARTICLE INFO

Article History:

Received: 24 Jun. 2019

Accepted: 2 Nov. 2019

Keywords:

Multi-layer berm breakwater

Stability

Experimental modeling

Stone class I

ABSTRACT

Assessing the stability of the breakwaters against incident waves is the most important issue in structure designing. Due to this fact, the effects of different parameters on the stability of multi-layer berm breakwater (MLBBs) have been presented in this study. A 2D experimental model of an MLBB with a JONSWAP spectrum of irregular waves is conducted. The effects of berm parameters such as berm elevation from SWL and water depth at the toe of the structure have been evaluated on MLBBs damage. The new parameter of stone class I height is assessed to find its effect on MLBBs stability. Outcomes disclose that an increase in stone class I height would increase the wave energy dissipation and consequently decrease the structure's damaged eroded area. Moreover, with a 23% increase in water depth, the forces on the structure would increase and as a result, the structural damage is enhanced to 250%. The results indicate as, with a 40% increase in berm elevation from SWL, the eroded area is enlarged to 67%.

۱ - مقدمه

کلاس I به صورت تقریبی از همان ابعاد سنگ‌های به کار رفته در موج شکن‌های سکویی شکل پذیر همگن هستند [۲]. هنگامی که معدن قرضه، نسبتاً نزدیک به محل ساخت یک پروژه موج شکن وجود دارد، گزینه موج شکن سکویی چندلایه بهدلیل استفاده بهینه و حداکثری از معدن قرضه انتخابی، از لحاظ اقتصادی مقرون به صرفه است [۳]. از طرف دیگر تجربه‌های عملی ساخت این نوع موج شکن نشان می‌دهد که استفاده از چند کلاس سنگ و جایگذاری آن‌ها در مکان‌های مخصوص، حجم کل مصالح بکار بردشده را کمتر کرده و در نتیجه ساخت موج شکن سکویی چندلایه اقتصادی‌تر می‌شود [۴]. یکی دیگر از مزیت‌های موج شکن‌های سکویی چندلایه این است که بر روی پی با خاک نسبتاً ضعیف نیز قابل ساخت بوده و در بسترهایی با احتمال نشستهایی بیشتر از مقدار پیش‌بینی شده مناسب هستند [۵].

مزیت‌های موج شکن سکویی چندلایه نسبت به موج شکن توده‌سنگی سنتی و موج شکن سکویی همگن شکل پذیر بوسیله محققان مختلفی مانند تoram و همکاران [۶]، اسوینبرنسن [۳]، لیک اندرسن و بورخارت [۷]، سیگوردارسون و فن درمیر [۸] و مقیم و لیک اندرسن [۹] اشاره شده است. هزینه کل ساخت یک موج شکن توده‌سنگی مستقیماً به حجم و فاصله انتقال مصالح سنگی وابسته است. با توجه به اینکه ساخت موج شکن توده‌سنگی سنتی نیازمند استفاده از معادن با بلوك‌دهی مناسب است و از طرفی در کشور ما به خصوص در جنوب کشور دسترسی به معادن با خصوصیات ذکر شده کم است، ساخت این نوع موج شکن‌ها هزینه بسیار زیادی را به پروژه‌ها تحمیل می‌کند. از این‌رو استفاده از موج شکن‌های سکویی چندلایه با کاهش حجم مصالح سنگی با تناظر بالا، می‌توانند گزینه مناسب جایگزین برای سازه‌های توده‌سنگی سنتی باشند. از طرف دیگر مقایسه موج شکن سکویی چندلایه استاتیکی با موج شکن سکویی همگن شکل پذیر نشان می‌دهد که موج شکن چندلایه دارای کلاس‌های مختلف سنگی است، به طوری که دانه‌بندی هر کلاس سنگی به صورت جداگانه و کم عرض انتخاب می‌شود. در موج شکن سکویی همگن قابل تغییر شکل، بهدلیل استفاده از یک نوع کلاس سنگی در کل لایه آرمور با دانه‌بندی عریض، طیف وسیعی از اندازه سنگ‌ها در آن استفاده می‌شود. انتخاب دانه‌بندی کم عرض در کلاس‌های سنگی لایه آرمور موج شکن چندلایه، نفوذپذیری بیشتری را نسبت به کلاس‌های آرمور با دانه‌بندی عریض در موج شکن تغییر شکل پذیر بوجود می‌آورد. نفوذپذیری بیشتر موج شکن سکویی چندلایه، سبب افزایش جذب انرژی موج برخورده، افزایش پایداری سازه و همچنین کاهش سرریزی از روی سازه می‌شود [۱۰ و ۳].

نکته قابل توجه اینکه تجربه‌های موجود در مورد سازه‌های شکل پذیر نشان داده‌اند، زمانی که سنگ تحت اثر تغییر شکل شروع به بالا و پایین رفتن روی شیب سازه می‌کند، سنگ‌های در حال حرکت با

نخستین بار در اوایل سال ۱۹۸۰ میلادی زمانی که نیاز به احداث یک لایه محافظ شیب برای توسعه باند فرودگاه به سمت دریا در جزیره آلاسکا مطرح شد، ساخت یک موج شکن بر اساس شکل گیری طبیعی لایه آرمور وجه جلویی موج شکن در حین برخورد امواج، مورد توجه قرار گرفت [۱]. با قبول تفکر شکل پذیری در موج شکن‌های توده‌سنگی می‌توان دریافت که قسمت فوقانی مقطع سازه موج شکن توده‌سنگی پس از تغییر شکل به سمت پایین در کف دریا ریخته شده و عملکرد سازه‌ای تعیین‌کننده‌ای را از خود نشان نمی‌دهد. لذا به منظور کاهش حجم مصالح مصرفی در ساخت موج شکن، قسمت فوقانی از نیم‌رخ اولیه لایه آرمور حذف گردید تا در نهایت لایه سنگی در جلوی مقطع ذوزنقه‌ای شکل موج شکن توده‌سنگی، که شبیه به یک سکو بود در سمت رو به دریای موج شکن، باقی بماند. در واقع موج شکن سکویی نوعی موج شکن توده‌سنگی است، که با ایجاد یک سکوی تقریباً بزرگ در تراز بالاتر یا هم‌تراز سطح ایستابی (SWL) در سمت دریا ساخته می‌شود. از مزایای موج شکن‌های سکویی نسبت به نوع سنتی این است که با ایجاد یک سکوی حجمی و متخلخل نزدیک سطح آب، قسمت اعظم انرژی امواج در هنگام برخورد به سازه مستهلک شده و به پایداری سازه کمک خواهد کرد.

موج شکن‌های سکویی از لحاظ طراحی و اجرا به دو نوع موج شکن سکویی همگن و موج شکن سکویی چندلایه تقسیم‌بندی می‌شوند. موج شکن‌های سکویی چندلایه به عنوان موج شکن‌های ایسلندی معروف هستند، به طوری که استفاده از این نوع موج شکن‌ها در کشور ایسلند بسیار مرسوم بوده و تاکنون بیش از ۲۰ مورد از آن‌ها در این کشور ساخته شده است. ساخت موج شکن‌های ایسلندی به دهه ۸۰ قرن بیستم میلادی برمی‌گردد و حدود ۴۰ سازه از این نوع موج شکن در سراسر دنیا و در گستره وسیعی از شرایط موج، عمق آب و شرایط جزر و مدى ساخته شده است [۲]. موج شکن سکویی ایسلندی، موج شکن سکویی پایدار استاتیکی چندلایه است که فقط مقدار کمی تغییر شکل در آن‌ها مجاز است. این نوع از موج شکن‌ها توسط کلاس‌های مختلف سنگی، براساس اندازه قطعات سنگی ساخته می‌شوند. فلسفه انتخاب کلاس‌های مختلف سنگی، استفاده بهینه از مصالح معدن در دسترس است. بزرگترین کلاس سنگ تحت عنوان سنگ کلاس I در محدوده تراز سکوی موج شکن و در برخی مواقع در شیب بالایی سکوی موج شکن که موج برخوردی بیشترین اثر را دارد، قرار می‌گیرد. از آنجایی که سنگ‌های کلاس I با ابعاد بزرگ‌تر به صورت گزینشی جاییابی و به خوبی در هم قفل و بست می‌شوند، نقش مهمی در پایداری سازه ایفا می‌کنند [۲ و ۳]. کلاس‌های سنگی تشکیل شده از سنگ‌های کوچک‌تر در قسمت‌های پایینی شیب جلوی سکو و لایه‌های درونی موج شکن در جایی که تأثیر موج برخوردی کمتر است، قرار داده می‌شوند. عموماً سنگ‌های کلاس‌های کوچک‌تر از

(^۳) و نسبتاً شکل پذیر (PR) ^۴ و موج شکن نوع ایسلندی به سازه به سختی شکل پذیر (HR) ^۵ و نسبتاً شکل پذیر (PR) تفکیک می‌شود. در این طبقه‌بندی براساس نوع سازه و نوع تغییر شکل سازه، موج شکن سکویی به چهار نوع شامل، موج شکن سکویی ایسلندی به سختی شکل پذیر (HR-IC) ^۶، موج شکن سکویی ایسلندی نسبتاً شکل پذیر (PR-IC) ^۷، موج شکن سکویی همگن ایسلندی نسبتاً شکل پذیر (PR-MA) ^۸ و موج شکن سکویی همگن کاملاً شکل پذیر (FR-MA) ^۹ تقسیم شده است (شکل ۱) [۱۳].

جدول ۱، دامنه تغییرات پارامترهای بی بعد شامل عدد پایداری

$$\frac{A_e}{D_{n50}} = \frac{H_s}{\Delta D_{n50}}, \text{ پارامتر آسیب } (S_d) \text{ و عرض پسرفت}$$

بی بعد شده سکو ($\frac{\text{Re}c}{D_{n50}}$) را برای طبقه‌بندی انواع موج شکن‌های

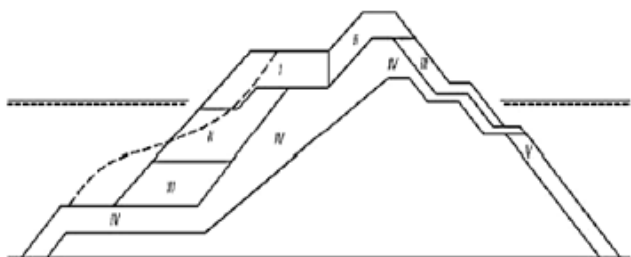
سکویی برای دوره بازگشت ۱۰۰ ساله بیان می‌کند. در این جدول ارتفاع مشخصه موج، H_s ، مساحت فرسایش یافته،

$$\frac{\rho_s}{\rho_w} - 1 = (\Delta) \text{ چگالی نسبی سنگ لایه آرمور، } \rho_s \text{ چگالی}$$

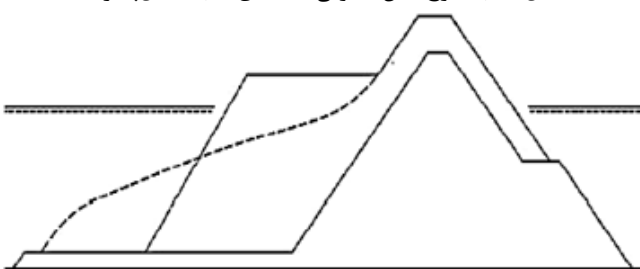
سنگ‌دانه‌ها، ρ_w چگالی آب، D_{n50} قطر متوسط سنگ لایه آرمور و $\text{Re}c$ پسرفت عرض سکو است. شایان ذکر است که برای دوره‌های بازگشت کمتر و یا بیشتر از شرایط طرح، مقادیر کمتر و یا بیشتر از مقادیر پیشنهاد شده در این جدول متناسب با مقدار دوره بازگشت با نظر طراح انتخاب می‌شود [۱۳].

هم برخورد کرده و فرسایش و یا شکست سنگ امکان‌پذیر خواهد بود. در صورت فرسایش و یا شکست سنگ، قطر متوسط سنگ کاهش پیدا کرده و بعضًا منجر به کاهش پایداری سازه می‌شود [۱۱]. برخلاف موج شکن‌های سکویی شکل پذیر، در موج شکن سکویی چندلایه، سنگ‌ها اجازه حرکت کمتری را داشته و در نتیجه احتمال شکست سنگ کمتر می‌شود. در موج شکن‌های چندلایه به دلیل باقی-ماندن سنگ‌های بزرگتر در سکو و همچنین وجود فضای خالی بیشتر بین سنگ‌ها (تخلخل بیشتر از ۴۰٪) در طول عمر مفید سازه، جذب انرژی بالایی از موج اتفاق خواهد افتاد [۱۰، ۱۱].

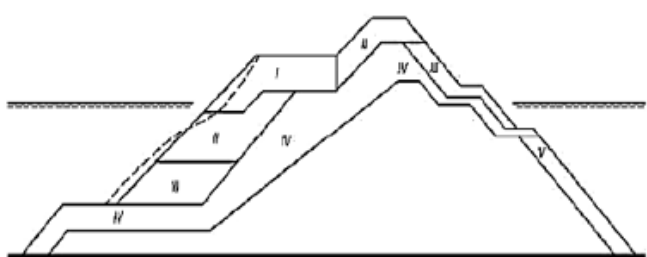
قدیمی‌ترین طبقه‌بندی موج شکن‌های سکویی توسط فن درمیر و پیلارزیک تعریف شده است [۱۲]. پیانک براساس شکل پذیری سازه به دسته‌بندی موج شکن‌های سکویی پرداخت [۱۴]. اخیراً طبقه‌بندی جدیدی تو سط سیگوردار سون و فن درمیر برای موج شکن سکویی انجام شده که بین موج شکن ایسلندی و نوع همگن تفاوت قائل می‌شود [۱۳]. طبقه‌بندی جدید براساس رفتار سازه‌ای موج شکن و همچنین تعداد کلاس سنگ بکار رفته در سازه، به اصلاح طبقه‌بندی قبلی صورت گرفته تو سط پیانک پرداخته است. در این حالت ابتدا بین موج شکن سکویی همگن با یک کلاس سنگ (MA) ^{۱۰} و موج شکن ایسلندی با چند کلاس سنگ (IC) ^{۱۱} تفاوت قائل شده و سپس رفتار این دو نوع موج شکن مورد بررسی قرار می‌گیرد. به دلیل آنکه ابعاد سنگ‌های استفاده شده در موج شکن نوع همگن کوچکتر از سنگ‌های مورد استفاده در موج شکن نوع ایسلندی است، موج شکن نوع همگن به سازه کاملاً شکل پذیر



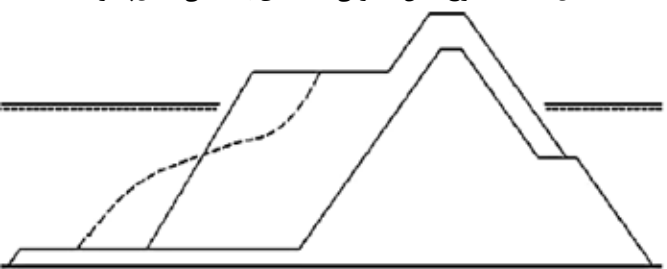
شکل ۱- ب- موج شکن سکویی ایسلندی نسبتاً شکل پذیر



شکل ۱- د- موج شکن سکویی همگن کاملاً شکل پذیر



شکل ۱- الف- موج شکن سکویی ایسلندی به سختی شکل پذیر



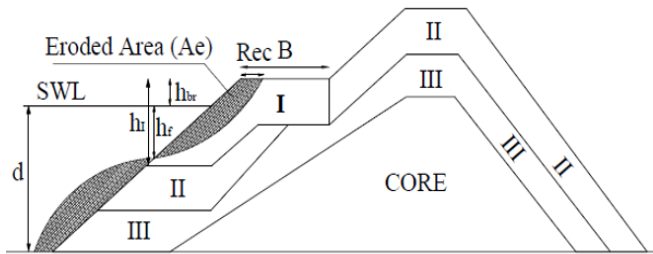
شکل ۱- ج- موج شکن سکویی همگن نسبتاً شکل پذیر

شکل ۱- انواع موج شکن‌های سکویی براساس طبقه‌بندی جدید [۱۳]

جدول ۱- طبقه‌بندی موج شکن سکویی برای دوره بازگشت ۱۰۰ ساله [۱۳]

نوع موج شکن	نشان اختصاری	$\frac{H_s}{\Delta D_{n50}}$	S_d	$\frac{Re_c}{D_{n50}}$
موج شکن سکویی ایسلندی به سختی شکل پذیر	HR-IC	۱/۷-۲	۲-۸	۰/۵-۲
موج شکن سکویی ایسلندی نسبتاً شکل پذیر	PR-IC	۲-۲/۵	۱۰-۲۰	۱-۵
موج شکن سکویی همگن نسبتاً شکل پذیر	PR-MA	۲-۲/۵	۱۰-۲۰	۱-۵
موج شکن سکویی همگن کاملاً شکل پذیر	FR-MA	۲/۵-۳	-----	۳-۱۰

سیگوردارسون و همکاران [۲۰]، لیک اندرسن و بورخارت [۷]، مقیم و همکاران [۲۱]، سیگوردارسون و فن درمیر [۸]، تورام و همکاران [۲۲]، شکاری و شفیعی فر [۲۳]، بورخارت [۱۲]، تامسین و همکاران [۲۴]، مقیم و لیک اندرسن [۹] و فن درمیر و سیگوردارسون [۲۵] بر روی پایداری موج شکن‌های توده‌سنگی سکویی تحقیقات گستره‌ای انجام دادند، که نتیجه برخی از این مطالعات آزمایشگاهی به ارائه روابطی برای ارزیابی پایداری سازه منجر شده است.



شکل ۲- شکل شماتیک فرسایش شبیه آرمور در موج شکن سکویی چندلایه

پژوهشگران مختلفی مانند لیک اندرسن و بورخارت [۷]، مقیم و همکاران [۲۱] و شکاری و شفیعی فر [۲۳]، مطالعاتی به منظور بررسی تأثیر پارامترهای محیطی و سازه‌ای مرتبط با سکوی سازه شامل تراز سکو از سطح ایستابی و عمق آب پای سازه بر روی موج-شکن‌های سکویی همگن شکل پذیر انجام دادند. اسوینبرنسن [۳] نیز اثر تغییر تراز سکو از سطح ایستابی بر موج شکن سکویی چندلایه بررسی کرد. در این پژوهش به منظور بررسی اثر تغییر تراز سکو از سطح ایستابی بر پایداری موج شکن، تراز سطح ایستابی تغییر می‌کرد و در این صورت علاوه بر تغییر تراز سکو از سطح ایستابی، عمق آب نیز دچار تغییر می‌شد که این امر منجر به تغییر دو پارامتر به صورت همزمان می‌شود. مقیم و همکاران [۲۱] با بررسی اثر تراز سکو از سطح ایستابی بر پایداری موج شکن سکویی همگن بیان کردند که این پارامتر، عامل اثرگذاری در بررسی پایداری و مقدار پسربفت سکو است، به طوری که با افزایش ارتفاع سکو در شرایط ثابت ترکیب موج، مقدار پسربفت سکو کمتر می‌شود. همچنین آن‌ها با بررسی عمق آب پای سازه دریافتند که با افزایش عمق آب در یک شرایط موج ثابت، مقدار پسربفت سکو بیشتر شده است. مقیم

در مطالعه پایداری هیدرولیکی موج شکن‌های سکویی، بدست آوردن روشی مناسب برای ارزیابی پایداری سازه، بسیار مهم قلمداد می‌شود. یکی از مهمترین پارامترهای حاکم در طراحی و اندازه‌گیری تغییر شکل موج شکن‌های سکویی همگن، مقدار فرسایش عرض سکوی آن (Re_c) است که در صورتی که این مقدار بزرگتر از عرض سکوی موج شکن (B) باشد، ناپایداری و خرابی موج شکن سکویی اتفاق می‌افتد. از طرف دیگر با توجه به عملکرد استاتیکی موج شکن‌های سکویی چندلایه، پارامتر A سیب (S_d) که توسط بردریک تعریف شده و با سطح فرسایش یافته و تعداد بلوک سنگی جابجا شده (تخرب شده) مرتبط است، به عنوان پارامتر اصلی در تعیین میزان آسیب در موج شکن‌های سکویی چندلایه مطرح می‌شود [۱۴]. پارامتر مهم دیگر در توصیف نیمرخ تغییر شکل یافته در موج شکن‌های سکویی، فاصله نقطه تقاطع نیمرخ تغییر شکل یافته و نیمرخ اولیه زیاد است. بنابراین این پارامتر در تراز سطح ایستابی (h_f) است [۶]. این پارامتر در موج شکن‌های سکویی چندلایه حائز اهمیت است، زیرا باید به لحاظ حفظ پایداری سازه، بزرگترین کلاس سنگ (کلاس I) تا نقطه تقاطع نیمرخ تغییر شکل یافته و نیمرخ اولیه ادامه یابد. در غیر این صورت تغییر شکل به کلاس II خواهد رسید که سبب تشدید در مقدار سطح فرسایش یافته در کلاس I خواهد شد. بطور خلاصه می‌توان بیان داشت که بدليل عملکرد استاتیکی موج شکن‌های سکویی چندلایه، استفاده از پسربفت سکو دارای پراکندگی زیادی در نتایج خواهد بود [۹]. در سازه‌های استاتیکی، گاهی عملًا سازه پسربفت سکو ندارد، اما لایه آرمور دارای سطح فرسایش یافته است. بنابراین استفاده از پارامتر آسیب که با سطح فرسایش سازه در ارتباط است، به عنوان پارامتر مناسب برای ارزیابی پایداری موج شکن‌های سکویی چندلایه، تعریف می‌شود [۹]. شکل ۲ پارامترهای مطرح در زمینه پایداری هیدرولیکی موج شکن‌های سکویی را به صورت شماتیک نشان می‌دهد.

تاکنون تحقیقات مختلفی در زمینه پایداری هیدرولیکی موج شکن‌های توده‌سنگی انجام شده است، که عمدۀ آن بر روی سازه‌های شکل پذیر بوده است. هادسون [۱۵]، فن درمیر [۱۶]، جوول و اسلوس [۱۷]، تورام و همکاران [۶]، سیگوردارسون و همکاران [۱۸]، راوو و همکاران [۱۹]، اسوینبرنسن [۳]

سکو قرار گرفت. برای حصول اطمینان از عدم وقوع سرریزی، قبل از انجام آزمایش‌های اصلی، آزمایش‌های اولیه در بحرانی‌ترین شرایط محیطی و سازه‌ای موردنظر در این تحقیق انجام شد، که نتایج بیانگر مناسب بودن تراز تاج انتخابی براساس شرایط طراحی آزمایش‌ها بود. همچنین در طراحی موج‌شکن سکویی چندلایه برای کلیه مقاطع مورد بررسی، تراز نقطه تقاطع پروفیل اولیه و تغییر شکل یافته باید بالاتر از انتهای سنگ کلاس I جایابی شود. اسوینبرنسن [۳] توصیه کرد که عمق سنگ کلاس I به اندازه بیشترین مقدار بین دو مقدار D_{n50I} و $1.45\Delta \times D_{n50II}$ در زیر سکو ادامه یابد. برای کنترل توصیه‌های اسوینبرنسن [۳]، قبل از انجام آزمایش‌های اصلی، بر روی مقطع طراحی شده آزمایش‌های اولیه صورت گرفت و در نهایت سنگ‌های کلاس II پایین‌تر از فاصله نقطه تقاطع نیم‌رخ تغییر شکل یافته و اولیه نسبت به تراز سطح ایستابی جایابی شدند.

برای ثبت نو سانات سطح آب در حین آزمایش، از سه حسگر بین سازه و موج ساز استفاده شده است (شکل ۴). حسگرهای بکار بده شده از نوع خازنی با فرکانس ۱۰ هرتز و دقت یک میلی‌متر بوده و تراز لحظه‌ای موج را در هر ۱۰۰ میلی‌ثانیه برداشت می‌کنند. چینش حسگرهای برا ساس الگوی پیشنهادی منسارد و فونک است [۲۷]. براساس الگوی آن‌ها فاصله بین حسگرهای از رابطه زیر بدست می‌آید:

$$X_{12} = \frac{L}{10} ; \quad \frac{L}{6} \leq X_{13} \leq \frac{L}{3} ; \quad X_{13} \neq \frac{L}{5}, \frac{L}{10} \quad (1)$$

که در آن L طول موج متناظر با پریود اوج، X_{12} فاصله حسگر اول (سمت موج ساز) تا حسگر میانی و X_{13} فاصله حسگر اول تا حسگر سوم (سمت سازه) است. همچنین فاصله اولین حسگر تا سازه نیز به اندازه یک طول موج از سازه فاصله دارد. پس از اتمام هر آزمایش، امواج حاصل از ترکیب موج برخوری و انعکاسی براساس الگوی منسارد و فونک [۲۷] و با استفاده از نرم‌افزار IWS تفکیک شدند. برای نصب تجهیزات اندازه‌گیری نیم‌رخ سازه بر روی فلوم، یک جفت ریل ثابت در امتداد طولی و بالای آن قرار گرفت. جهت بهمنظور نیم‌رخ برداری سازه، از متر لیزری نصب شده بر روی ارایه‌ای با قابلیت حرکت در راستای طول و عرض فلوم استفاده شد. برای اطمینان از ساخت دقیق هندسه اولیه سازه و همچنین برداشت پروفیل سازه بعد از اصابت امواج، برداشت نیم‌رخ در پنج مقطع جداگانه و با حرکت روی ریل فلوم برای فواصل ۰/۰۲ متری انجام شده است. مقطع میانی در وسط فلوم و مقاطع کناری با فاصله ۰/۲ متر از یکدیگر قرار دارند. همچنین در انتخاب مقاطع، فاصله آخرین مقطع کناری تا دیواره فلوم برای کنترل اثر دیواره بر نتایج آزمایش‌ها، مقدار ۰/۱ متر لحاظ شده است. در نهایت میانگین نیم‌رخ‌های پنج مقطع به عنوان نیم‌رخ اولیه و تغییر شکل یافته در

و همکاران [۲۱] در بررسی تأثیر عمق آب پای سازه، با تغییر این پارامتر، ارتفاع سکو از کف کanal را به نحوی تغییر دادند که ارتفاع تراز سکو از سطح ایستابی ثابت باقی ماند. بورخارت [۱۲]، فن درمیر و سیگوردارسون [۲۵] به اهمیت پارامترهای تراز سکو از سطح ایستابی و عمق آب پای سازه در بررسی پایداری موج‌شکن سکویی چندلایه اشاره و شناخت آن را توصیه کردند.

بررسی‌های انجام شده بر روی مطالعات پژوهشگران حاکی از آن است که اطلاعات و تحقیقات اندکی در زمینه پایداری موج‌شکن سکویی چندلایه وجود دارد، به طوری که عدم کفایت تحقیقات موجود در این زمینه، منتج به عدم شناخت صحیح تأثیر پارامترهای اثرگذار بر روی پایداری این سازه شده است. از این‌رو، در تحقیق حاضر تأثیر پارامترهای محیطی و سازه‌ای مرتبط با سکو شامل تراز سکو از سطح ایستابی و عمق آب پای سازه بر روی پایداری موج‌شکن سکویی چندلایه بررسی می‌شوند. همچنین پارامتر ارتفاع سنگ کلاس I به عنوان پارامتر هندسی جدید معرفی و نحوه اثرگذاری آن بر پایداری مورد بحث قرار خواهد گرفت.

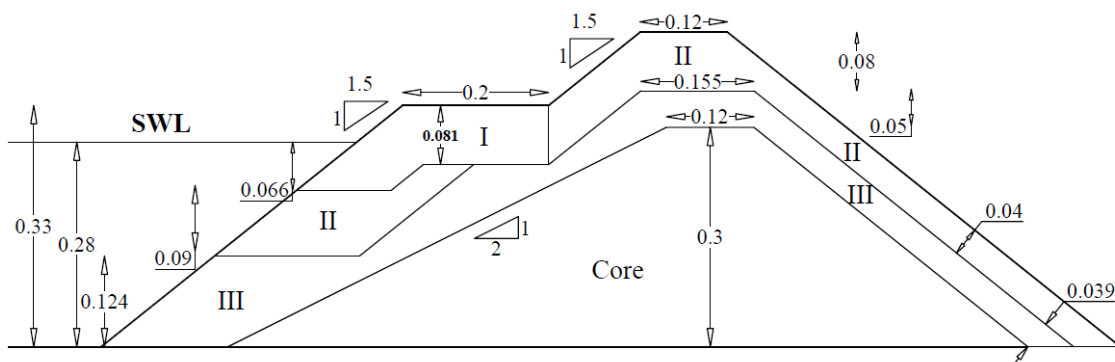
۲- مدل‌سازی آزمایشگاهی و روش انجام آن

مطالعه آزمایشگاهی حاضر به صورت مدل آزمایشگاهی دو بعدی در آزمایشگاه هیدرولیک دریا دانشگاه تربیت مدرس انجام شده است. کanal موج دانشگاه تربیت مدرس به طول ۱۶ متر، عرض ۱ متر و عمق ۱ متر است. دیواره‌ها و کف کanal از جنس شیشه نشکن و شفاف تشکیل شده است تا برای مشاهدات و فیلم‌برداری کیفیت لازم را داشته باشد. دستگاه موج ساز مورد استفاده از نوع پیستونی با توانایی تولید امواج منظم و نامنظم با بیشینه خطای جابجایی ۱ میلی‌متر است. در آزمایش‌های حاضر از موج نامنظم با طیف انرژی جوانسوار با ضریب $\beta = 10/3$ ، استفاده شده است. ایده اصلی مقطع مدل آزمایشگاهی از طرح اجرا شده موج‌شکن سکویی چندلایه Sirevåg در کشور نروژ گرفته شده است [۲۶]. در مطالعه حاضر جهت ساخت موج شکن به غیر از لایه هسته، از سه کلاس سنگ استفاده شده است. ارتفاع کل مقطع موج‌شکن مورد نظر $43/0$ متر، شبیه لایه آرمور $1/5$ ، شبیه لایه هسته $1/2$ و ارتفاع قسمت تاج هسته از کف فلوم برابر با $3/0$ متر در نظر گرفته شدند. در همه مقاطع، مقادیر فوق دارای مقدار ثابتی هستند. همچنین تعداد موج در هر آزمایش برابر با 3000 موج است. شکل ۳ مقطعی از مدل موج شکن طراحی شده و اجرا شده در کanal موج را نشان می‌دهد.

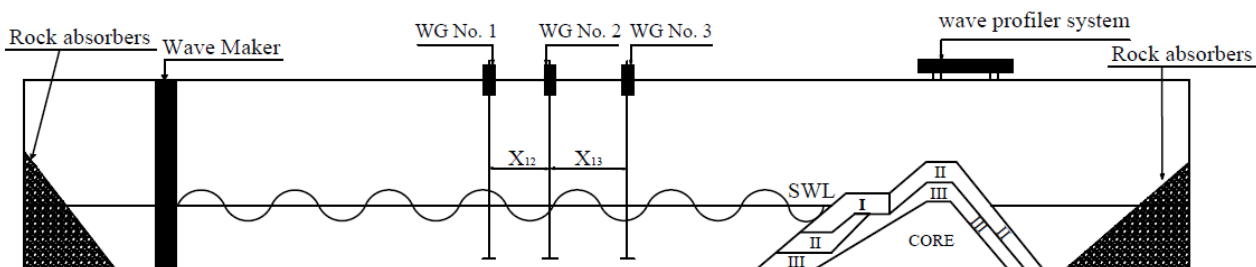
از آنجایی که هدف از انجام آزمایش‌ها، بررسی پایداری هیدرولیکی موج شکن سکویی چندلایه است، باید موج شکنی طراحی شود که در بحرانی‌ترین حالت به صورت غیرسریزشونده عمل کند. در تمامی آزمایش‌ها تراز تاج در سازه‌ی طراحی شده در فاصله $1/0$ متری از

شده است. به منظور تفکیک بهتر مصالح در کلاس‌های مختلف سنگی و مشاهده بهتر مکانیزم حرکتی آن‌ها در حین انجام آزمایش‌ها مصالح کلاس‌های مختلف با اسپری رنگ‌آمیزی شدند.

نظر گرفته شده است. مشخصات مصالح تشکیل دهنده کلاس‌های مختلف سنگی موج شکن سکویی چندلایه شامل قطر اسمی، چگالی و عرض منحنی دانه‌بندی در جدول ۲ ارائه شده است. همچنین روند اجرای مراحل ساخت مدل آزمایشگاهی در شکل ۵ نشان داده



شکل ۳- مقطع اولیه موج شکن سکویی چندلایه طراحی شده در آزمایش‌ها



شکل ۴- مقطع عرضی کanal موج و نحوه استقرار اجزای مختلف در آزمایش‌ها

جدول ۲- مشخصات مصالح بکار رفته در لایه‌های مختلف سنگی موج شکن سکویی چندلایه اجراشده

مشخصه	سنگ کلاس هسته	سنگ کلاس		قطر اسمی سنگ دانه (m)
		II	III	
ضریب منحنی دانه‌بندی	۰/۰۲۷	۰/۰۲	۰/۰۱۲	۰/۰۰۵
$(f_g = D_{n85} / D_{n15})$	۱/۲	۱/۵	۱/۵	
جرم مخصوص (Kg/m^3)	۲۶۵۰	۲۶۵۰	۲۶۵۰	۲۶۵۰



۵- ب- اجرای کلاس III موج شکن سکویی چندلایه



۵- الف- اجرای هسته موج شکن سکویی چندلایه



۵-د-اجرای کامل موج شکن سکویی چندلایه



۵-ج-اجرای کلاس II موج شکن سکویی چندلایه

شکل ۵- تصاویری از اجرای مدل موج شکن سکویی چندلایه در آزمایشگاه

که در آن عبارت $\sqrt{gH_s}$ معرف سرعت مشخصه، D_{n50} طول مشخصه و U لزجت سینماتیکی است. دائی و کمیل [۲۸]، جنسین و کلینتینگ [۲۹]، فن درمیر [۱۶] از جمله محققانی هستند که بر روی اثر مقیاس مطالعاتی انجام دادند. براساس توصیه فن درمیر [۱۶] برای به حداقل رساندن اثر لزجت، عدد رینولدز باید در محدوده $Re \leq 4 \times 10^5$ باشد. کمترین مقدار عدد رینولدز در مجموعه آزمایش‌های این پژوهش 2.05×10^4 بوده و از این‌رو در تحقیق حاضر اثر مقیاس ناشی از لزجت قابل صرف نظر کردن است.

۴-نتایج و بحث

در بخش حاضر، نخست تأثیر پارامترهای عمق آب پای سازه و تراز سکو از سطح ایستابی بر پایداری موج شکن سکویی چندلایه بررسی می‌شود. در بررسی تأثیر هریک از این پارامترها بر پایداری، به‌منظور ثابت نگهداشتن سایر پارامترها، تراز ارتفاعی سکو تغییر داده شد. با تحلیل نتایج بدست آمده، پارامتر ارتفاع و یا حجم سنگ کلاس I به عنوان پارامتر جدید تأثیرگذار معرفی گردید و در ادامه با انجام آزمایش‌هایی، تأثیر این پارامتر بر پایداری شناخته شد. در نهایت با ثابت نگهداشتن حجم سنگ‌های کلاس I، برای بررسی نحوه اثرگذاری عمق آب و تراز سکو از سطح ایستابی بر پایداری، آزمایش‌ها مجدد انجام شد که در ادامه به بیان این نتایج پرداخته خواهد شد.

۳- گستره پارامترهای بابعد و بی‌بعد
آزمایش‌های حاضر در این پژوهش برای شرایط مختلف محیطی مانند ارتفاع موج، پریود موج و عمق آب پای سازه و همچنین پارامترهای هندسی متفاوت از قبیل تراز سکو از سطح ایستابی و ارتفاع سنگ کلاس I انجام شده است. در جداول ۳ و ۴ محدوده تغییرات پارامترهای بابعد و بی‌بعد تحقیق حاضر، ارائه شده است. به منظور پوشش مناسب محدوده‌های تغییر برای پارامترهای بی‌بعد، قیدهایی مانند محدودیت‌های آزمایشگاهی، عدد رینولدز، تیزی موج (S_{op})، عدد شکست موج (ζ) و عدد پایداری (H_o) در نظر گرفته شدند. موج شکن طراحی شده از نظر رفتار سازه‌ای، گستره بهشتی شکل-پذیر و نسبتاً شکل‌پذیر را پوشش می‌دهد. تیزی موج در مجموعه آزمایش‌های حاضر در گستره $S_{op} < 0.065$ بوده که این گستره محدوده پیشنهادی توسط فن درمیر [۱۶] $0.015 < S_{op} < 0.07$ را پوشش داده است. همچنین عدد شکست موج در گستره $= 1.97 - 6.37 = 7$ قرار گرفته به‌طوری‌که ناحیه شکست چرخان تا شکست لغزان را پوشش می‌دهد. در مفاهیم مدل‌سازی دریایی، نیروی غالب در موج شکن‌های توده-سنگی نیروی نقل است و برای به حداقل رساندن اثر نیروی لزجت، باید جریان پای سازه به اندازه کافی آشفته باشد. برای ارزیابی اثر مقیاس در آزمایش‌های مربوط به مدل موج شکن‌های توده‌سنگی از عدد رینولدز بصورت رابطه زیر استفاده می‌شود:

$$R_e = \frac{\sqrt{gH_s} D_{n50}}{U} \quad (2)$$

جدول ۳- محدوده تغییرات پارامترهای محیطی و سازه‌ای برای بررسی پایداری سازه

پارامتر	مشخصه	نمای اختصاری	گستره تغییر پارامتر
ارتفاع مشخصه موج	H_s	H_s	$0/0.59$ تا $0/10^3$ متر
پریود اوجی موج	T_p	T_p	$1/6$ تا $1/10$ ثانیه
قطر اسمی سنگ کلاس I	D_{n50I}	D_{n50I}	$0/0.27$ متر
عمق آب پای سازه	d	d	$0/0.24$ تا $0/0.32$ متر
تراز سکو از سطح ایستابی	h_{br}	h_{br}	$0/0.1$ تا $0/0.7$ متر
عرض سکو	B	B	$0/2$ متر
ارتفاع سنگ کلاس I	h_I	h_I	$0/0.14$ تا $0/2$ متر

جدول ۴- محدوده تغییرات بی بعد	
محدوده تغییر	پارامتر
۲/۶ تا ۱/۳۱	H_o
۳۱/۱ تا ۱۹	T_o
۳۰۰۰	N
۱۳/۶ تا ۵/۷۴	$H_o \sqrt{T_o}$
۰/۰۶۵ تا ۰/۰۱۶	S_{op}
۶/۳۷ تا ۱/۹۷	ζ
۲/۷۴ تا ۲/۰۵	$R_e (\times 10^4)$

می رسد که پارامتر مؤثر دیگری نیز با تغییر تراز سکو تغییر پیدا کرده و هم زمان بر سطح آسیب سازه اثر گذاشته است.

از آنجایی که برای انجام آزمایش در ترازهای مختلف سکو، به حجم سنگ های کلاس I اضافه و یا از آن کم شده است، حجم سنگ های کلاس I با تغییر تراز سکو، دستخوش تغییر شده و به نظر می رسد که پارامتر مؤثری متناسب با سنگ های کلاس I بصورت هم زمان با تغییر تراز سکو، تغییر کرده و بر نتایج اثرگذار شده است. در واقع عدم وجود یک روند مشخص در بررسی اثر تراز سکو بر پارامتر آسیب سازه برای یک ترکیب ارتفاع و پریود ثابت به این دلیل است که در برخی از آزمایش ها، اثر تراز سکو غالب بوده و در برخی دیگر اثر پارامتری متناسب با سنگ کلاس I دارای تأثیر بیشتری است. به عنوان مثال، برای ایجاد تراز سکوی 0.07 متر در ترکیب موج است. اثر افزایش حجم سنگ کلاس I در کاهش سطح آسیب وارد است. اثر افزایش سازه به دلیل استهلاک انرژی بیشتر، نسبت به اثر افزایش تراز سکو از سطح ایستابی بر سطح آسیب غالب بوده و منجر به آسیب کمتری در سازه موج شکن شده است. به عنوان مثالی دیگر، برای ترکیب موج 0.103 متر، $H_s = 0.103m$, $T_p = 1.36s$ در آزمایش تراز سکو 0.03 متر، کمینه مقدار آسیب وارد بر سازه رخ داده است. در این حالت علی رغم کاهش حجم سنگ های کلاس I، به دلیل کاهش تراز سکو از سطح ایستابی، امواج برخورده به سازه بر روی طول بیشتری از سکو توزیع شده و انرژی بیشتری از موج برخورده مستهلاک شده است و به پایداری سازه کمک می شود. با توجه به مطالب ذکر شده می توان بیان کرد که استفاده از روش متداول در موج شکن های سکویی همگن در بررسی اثر تراز سکو از سطح ایستابی، به طور صحیح نحوه اثرگذاری تراز سکو بر پایداری موج شکن سکویی چندلایه را مشخص نخواهد کرد.

همچنین با بررسی مشاهدات آزمایشگاهی و تصاویر ثبت شده در حین انجام آزمایش های حاضر می توان بیان کرد که در حالت سکو با تراز 0.01 متر، سکوی سازه عملکرد مناسبی در استهلاک انرژی موج برخورده از خود نشان نداده است. از آنجایی که سکوی

۴-۱- بررسی تأثیر تراز سکو از سطح ایستابی بر پایداری سازه

افزایش ارتفاع تراز سکو از سطح ایستابی منجر به افزایش حجم مصالح مصرفی و در نتیجه افزایش هزینه اجرای سازه خواهد شد. از طرف دیگر کافی نبودن تراز سکو از سطح ایستابی باعث می شود که سکوی موج شکن عملکرد مناسبی نداشته و نتواند استهلاک انرژی را به خوبی انجام دهد. از این رو به نظر می رسد انتخاب بهینه این پارامتر، تأثیر مستقیمی بر اقتصاد پروژه و همچنین پایداری سازه داشته باشد. بررسی تحقیق های مختلف بیانگر تأثیر مهم پارامتر تراز سکو از سطح ایستابی بر پایداری هیدرولیکی موج شکن سکویی شکل پذیر و عدم کفایت تحقیقات سایرین در بررسی اثر این پارامتر در پایداری موج شکن سکویی چندلایه است. با توجه به مطالب ذکر شده ضرورت بررسی ارتفاع تراز سکو از سطح ایستابی در موج شکن سکویی چندلایه توجیه می شود.

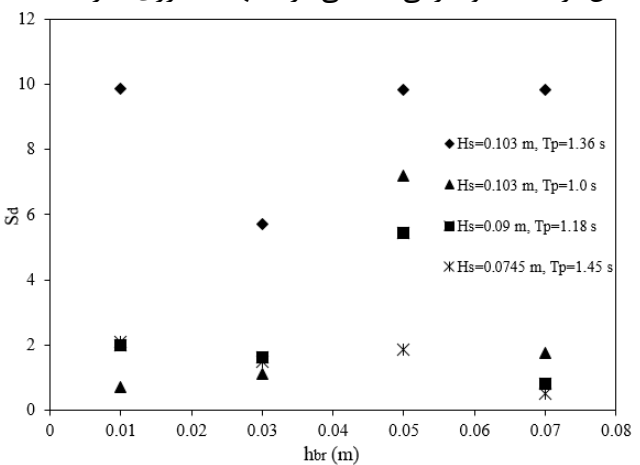
برای بررسی نحوه اثرگذاری پارامتر تراز سکوی موج شکن سکویی چندلایه بر سطح آسیب سازه تحت اثر برخورد 3000 موج در ترکیب های مختلف ارتفاع و پریود موج، 16 آزمایش انجام شدند. آزمایش ها برای چهار تراز سکوی متفاوت 0.01 , 0.03 , 0.05 و 0.07 متر) و با چهار ترکیب ارتفاع موج و پریود موج طراحی شدند. در انجام آزمایش های مربوط به بررسی تراز سکو از سطح ایستابی در موج شکن های سکویی، ارتفاع سکو از کف بستر باید تغییر کند تا مقدار تراز سکو از سطح ایستابی به اندازه مدنظر برای انجام آزمایش حاصل شود. در این مجموعه از آزمایش ها نیز برای بررسی اثر تراز سکو از سطح ایستابی، به مانند تحقیقات سایر محققان مانند مقیم و همکاران [۲۱] و شکاری و شفیعی فر [۲۳] تغییرات لازم برای اجرای آزمایش ها در تراز ارتفاعی سکو انجام شد. شکل ۶ تأثیر تراز سکوی موج شکن را بر مقدار سطح آسیب موج شکن سکویی چندلایه، برای ترکیب های مختلف ارتفاع و پریود موج نشان می دهد. همانطور که در شکل مشخص است. با افزایش تراز سکو از سطح ایستابی، مقدار سطح آسیب سازه روند مشخصی را نشان نمی دهد. در واقع به نظر

۴-۲- بررسی تأثیر عمق آب پای سازه بر پایداری سازه

یکی از پارامترهای مهم و انرگذار محیطی در بحث پایداری سازه که در بسیاری از تحقیق‌های انجام شده در موج‌شکن‌های توده‌سنگی به آن اشاره شده است، عمق آب پای سازه است. در خصوص انتخاب این پارامتر باید محدودیت‌هایی از جمله ارتفاع فلوم، نسبت عمق آب به طول موج، حداقل عمق آب برای جلوگیری از شکست موج و حداقل عمق آب برای جلوگیری وقوع سرریزی از سازه در نظر گرفته شوند. در مطالعه عمق آب باید به دو نکته اساسی توجه داشت. ابتدا اینکه با افزایش عمق آب تا حد امکان نباید سرریزی موج اتفاق افتد. زیرا سرریزی موج از روی سازه، منجر به از دست رفتن بخشی از آنرژی موج شده و در نتیجه مطالعه پایداری هیدرولیکی سازه براساس کل آنرژی موج برخوردي نخواهد بود. همچنان ذکر این نکته ضروری است که با تغییر عمق آب، باید تراز سکو از کف بستر تغییر یابد، به‌طوری‌که تراز سکو از سطح ایستابی ثابت باقی بماند.

برای بررسی اثر عمق آب پای سازه بر پایداری هیدرولیکی موج‌شکن سکویی چندلازه، چهار عمق آب مختلف (0.024 , 0.026 , 0.028 و 0.030 متر) در نظر گرفته شد. شایان ذکر است که در این مجموعه آزمایش‌ها برای ثابت نگهداشت تراز سکو از سطح ایستابی، با تغییر تراز ایستابی از کف بستر، سنگ‌ها از تراز ارتفاعی سکو برداشته یا به آن اضافه شد، به‌طوری‌که در تمامی آزمایش‌ها تراز سکو از سطح ایستابی ثابت و برابر 0.005 متر باقی ماند. شکل ۸ تأثیر پارامتر عمق

موج شکن نقش تعیین‌کننده‌ای در استهلاک انرژی امواج دارد، عدم دخلالت آن در استهلاک انرژی می‌تواند باعث آسیب بیشتر در سازه شود. نکته‌ی ذکر شده در تصاویر ثبت شده در آزمایشگاه (شکل ۷) مشاهده می‌شود. همانطور که در شکل ۷-الف مشهود است، موج با انرژی زیادی به سازه نزدیک شده، اما سکویی موج‌شکن با تراز سکوی معادل 0.01 متر، خیلی توسط موج احساس نمی‌شود (شکل ۷-ب) و موج با انرژی زیادی (همانطور که در شکل ۷-ج به وضوح قابل رؤیت است) به شیب بالای سکوی موج شکن برخورد کرده و بدین ترتیب سکو کارایی مناسبی در استهلاک انرژی ندارد.



شکل ۶- تأثیر تراز سکو از سطح ایستابی بر روی پارامتر آسیب موج‌شکن سکویی چندلازه برای ترکیب‌های متفاوت امواج



۷-ب- تأثیرگذاری کم سکو در استهلاک انرژی موج برخوردی



۷-الف- نزدیک شدن موج به سازه



۷-ج- برخورد موج با انرژی زیاد به شیب بالای سازه

شکل ۷- عدم کفايت تراز سکو 0.01 متر از سطح ایستابي

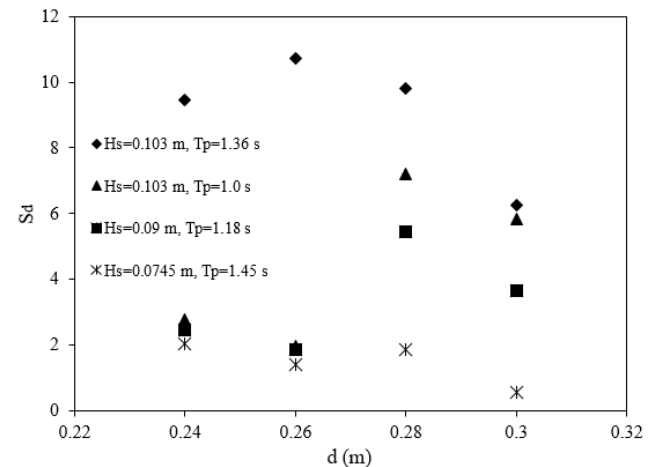
سنگ‌های کلاس I، ارتفاع سکو از کف بستر صرفاً با اضافه و یا کم کردن سنگ‌های کلاس II و III در لایه‌های پایین‌تر، تغییر یابد. با این روش ضمن ثابت ماندن ارتفاع کلاس I، تأثیر تراز سکو و یا عمق آب بر روی پایداری سازه مورد بررسی قرار خواهد گرفت.

از آنجایی که در موج شکن سکویی چندلایه در قسمت فوقانی سکویی موج شکن، بزرگترین سنگ‌دانه‌ها (سنگ کلاس I) قرار دارند، این سنگ‌ها وظیفه اصلی مقابله در برابر نیروهای وارد سکون را برعهده دارند. با توجه به این موضوع به نظر می‌رسد که تغییر در ارتفاع سنگ کلاس I اثر مستقیمی بر عملکرد موج شکن داشته و در مطالعه حاضر ارتفاع کلاس I به عنوان یک پارامتر جدید مورد بررسی قرار خواهد گرفت. برای بررسی نحوه اثرگذاری پارامتر ارتفاع کلاس I موج شکن سکویی چندلایه بر سطح آسیب سازه تحت اثر برخورد ۳۰۰۰ موج، تعداد ۱۲ آزمایش برای چهار ارتفاع کلاس I مختلف (۰/۱۴، ۰/۱۶، ۰/۱۸ و ۰/۲۰ متر) با سه ترکیب ارتفاع موج و پریود موج ثابت طراحی و انجام شدند. در آزمایش‌های مربوط به بررسی اثر دیگر پارامترها، ارتفاع سنگ کلاس I ثابت و برابر با ۰/۱۸ متر است. در بررسی اثر ارتفاع کلاس I بر پایداری سازه، به منظور ثابت نگه داشتن تراز سکو از سطح ایستابی، ارتفاع کلاس‌های سنگی II و III در لایه‌های پایین‌تر که نقش کمتری در پایداری سازه دارند، دستخوش تغییر شدند. بدین ترتیب ضمن اینکه ارتفاع سنگ کلاس I تغییر کرد، از تغییرات تراز سکو جلوگیری شد.

شکل ۹ اثر پارامتر ارتفاع کلاس I بر مقدار آسیب سازه را نشان می‌دهد. همانطور که مشخص است با افزایش ارتفاع کلاس I در یک ترکیب ثابت موج، مقدار پارامتر آسیب کمتر شده است. بنابراین پارامتر ارتفاع کلاس I به عنوان یک پارامتر اثرگذار در بررسی پایداری موج شکن سکویی چندلایه قابل تعریف است. با افزایش ارتفاع کلاس I، محیط مخلخل بزرگتری در ناحیه زیر تراز ایستابی ایجاد می‌شود و این‌رو به دلیل حجم بالای فضای خالی بین سنگ‌های کلاس I، اتلاف انرژی موج برخوردی بیشتر شده و مقدار سرعت جریان و نیروهای موج برخوردی به سازه کمتر می‌شود.

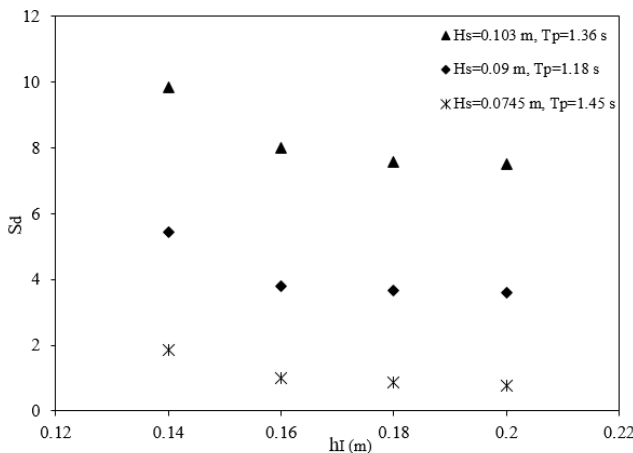
همانطور که در شکل ۹ مشخص است برای هر کدام از ترکیب‌های امواج، از مقدار مشخصی از ارتفاع کلاس I به بعد، تغییرات ناچیزی در مقدار پارامتر آسیب اتفاق می‌افتد. با توجه به این مسئله می‌توان به این نکته پی برد که بیشتر کردن حجم سنگ‌دانه‌های بزرگ در کلاس I از جایی به بعد تأثیر چندانی در پایداری سازه نداشته و صرفاً هزینه اجرایی بیشتری را برای یک پروژه به همراه خواهد داشت. نکته حاضر، امتیازی ویژه برای موج شکن سکویی چندلایه نسبت به موج-شکن توده‌سنگی سنتی و موج شکن سکویی همگن استاتیکی که در کل لایه آرمور آن‌ها از سنگ‌های بزرگ استفاده می‌شود، ایجاد می‌نماید. زیرا براساس این مطالعه استفاده از بلوك‌های سنگی با تنازع بالا

آب پای سازه بر مقدار سطح آسیب سازه را نشان می‌دهد. همانطور که در شکل مشخص است عمق آب پای سازه پارامتر مهمی در بررسی پایداری سازه به نظر می‌رسد، اما روند مشخصی برای پارامتر آسیب با افزایش عمق آب پای سازه در شرایط مختلف امواج مشاهده نمی‌شود. دلیل اصلی این اتفاق را می‌توان در تغییر همزمان پارامتر متنا سب با سنگ‌های کلاس I با تغییر عمق آب پای سازه دانست. به عنوان مثال، برای انجام آزمایش‌های با عمق آب ۰/۳ متر، به تراز ارتفاعی سکو سنگ‌های بزرگ (کلاس I) افزوده شد، از این‌رو محیط مخلخل بزرگتری در برابر امواج برخوردی ایجاد شده که منتج به استهلاک انرژی بیشتر و مقاومت بیشتر سازه شده است. در نتیجه در این مورد سنگ‌های کلاس I اثرگذاری بیشتری را نسبت به عمق آب پای سازه از خود نشان دادند. در مجموع با توجه به تغییر همزمان دو پارامتر حجم سکو سنگ کلاس I و همچنین عمق آب پای سازه در هر ترکیب موج، شرایطی برای آزمایش‌ها بوجود آمده که نمی‌توان بر آن اساس تحلیل روشنی در مورد نتایج ارائه کرد. از این‌رو در ادامه به معرفی پارامتر جدید ارتفاع کلاس I و بررسی اثرگذاری این پارامتر بر پایداری موج شکن سکویی چندلایه پرداخته خواهد شد.



شکل ۸- تأثیر عمق آب پای سازه بر روی پارامتر آسیب موج شکن سکویی چندلایه برای ترکیب‌های متفاوت امواج

۴-۳- بررسی تأثیر ارتفاع سنگ کلاس I بر پایداری سازه با توجه به مطالب ذکر شده در قسمت‌های قبلی مشاهده شد که در بررسی اثر تراز سکو از سطح ایستابی و یا عمق آب در موج شکن سکویی چندلایه، با تغییر تراز ارتفاعی سکو از کف بستر، حجم سکو سنگ کلاس I اضافه و یا کم شد و در این صورت در سنگ‌های کلاس I که نقش مهمی در پایداری سازه دارند، همزمان با سایر پارامترها تغییر ایجاد می‌شود. بنابراین ضروری است که در بررسی اثر پارامترهای تراز سکو از سطح ایستابی و یا عمق آب پای سازه بر پایداری موج شکن سکویی چندلایه، به منظور ثابت نگه داشتن حجم



شکل ۹- تأثیر ارتفاع کلاس I بر پارامتر آسیب موج شکن سکویی چندلایه

۴-۴- بررسی تأثیر تراز سکواز سطح ایستابی بر پایداری سازه با ثابت نگه داشتن حجم سنگ کلاس I

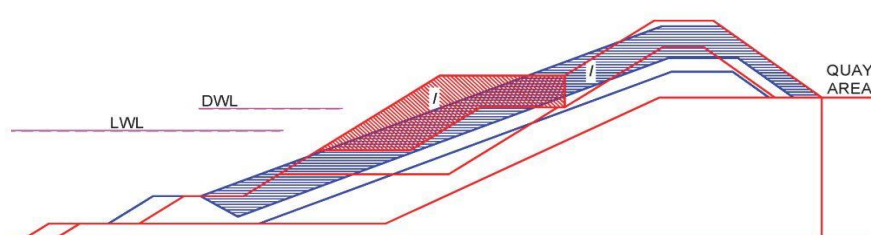
به منظور مطالعه پارامتر تراز سکواز سطح ایستابی موج شکن سکویی چندلایه بر سطح آسیب سازه، تعداد ۱۲ آزمایش در نظر گرفته شدند. در این سری از آزمایش‌ها، چهار تراز سکواز سطح ایستابی متفاوت (۰/۰۳، ۰/۰۵، ۰/۰۶ و ۰/۰۷ متر) با سه ترکیب مختلف موج و تعداد موج برخوردی ۳۰۰۰ موج مورد بررسی قرار گرفتند. در آزمایش‌های مربوط به تغییر دیگر پارامترها، تراز سکواز سطح ایستابی ثابت و برابر ۰/۰۵ متر در نظر گرفته شد. شایان ذکر است که در بررسی اثر این پارامتر، با تغییر تراز سکواز سطح ایستابی سایر پارامترها از جمله ارتفاع کلاس I و عمق آب پای سازه ثابت شدند.

تأثیر تراز سکواز بر مقدار سطح آسیب سازه در شکل ۱۱ نشان داده شده است. با توجه به این شکل مشاهده می‌شود که تراز سکواز سطح ایستابی پارامتر مهمی در بررسی پایداری موج شکن است، به طوری که با افزایش تراز سکواز در یک ترکیب موج ثابت، مقدار سطح آسیب سازه بیشتر می‌شود. به منظور مقایسه کمی و میزان اثرگذاری این پارامتر می‌توان بیان داشت که با افزایش ۴۰ درصدی در مقدار تراز سکواز (به عنوان مثال در ترکیب موج $H_s = 0.09m, T_p = 1.18s$) میزان ۶۷ درصد افزایش یافته است.

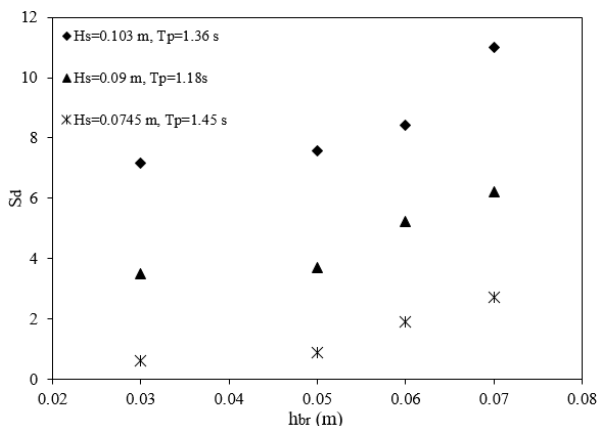
در بخش‌های پایینی لایه آرمور نقش متمرکزی در ایجاد مقاومت برای سازه در برابر امواج برخوردی ایفا نمی‌کند.

در شکل ۱۰ مقایسه‌ای بین حجم بزرگترین سنگ‌دانه بکار رفته در کلاس I موج‌شکن سکویی چندلایه و سنگ بکار رفته در لایه آرمور موج‌شکن توده‌سنگی سنتی را نشان می‌دهد. اگر به جای استفاده از موج‌شکن توده‌سنگی سنتی که لایه آرمور در آن با رنگ آبی مشخص شده است، از موج‌شکن سکویی چندلایه با بزرگترین سنگ‌دانه در کلاس I (با رنگ قرمز) استفاده شود، در این حالت حجم استفاده از بزرگترین کلاس سنگ (کلاس I)، به طور قابل ملاحظه‌ای کاهش می‌یابد. از آنجایی که استفاده از بزرگترین کلاس سنگ هزینه بالای دارد، در کل طراحی موج‌شکن چندلایه می‌تواند اقتصادی‌تر باشد [۲۵]. نکته حاضر، مخصوصاً در کشورهایی که معادن با بلوكدهی مناسب در آن‌ها کم است (مانند مناطق جنوبی ایران)، بسیار کاربردی بوده و از این‌رو ساخت این نوع موج‌شکن‌ها، با کاهش حجم مصالح سنگی با تنازه بالا، می‌توانند یکی از بهترین گزینه‌های جایگزین برای سازه‌های توده‌سنگی با عملکرد استاتیکی باشند.

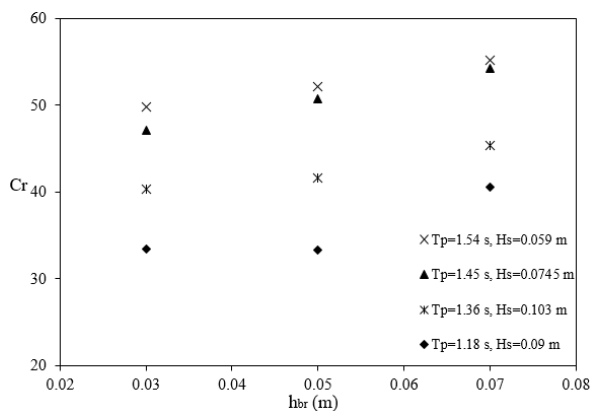
همچنین در مطالعه آزمایشگاهی حاضر مشاهده شد، در صورتی که تراز پایین روی موج به سنگ کلاس II بر سد، آسیب وارد بر سازه افزایش یافته و پایداری سازه بطور چشم‌گیری کاهش می‌یابد. به عنوان توصیه می‌توان بیان کرد که ارتفاع کلاس I در موج‌شکن سکویی چندلایه حداقل باید تا پایین تراز نقطه تقاطع نیمرخ اولیه و نیمرخ تغییر شکل یافته ادامه پیدا کند. درواقع در صورتی که سنگ‌های لایه‌های زیرین در معرض امواج قرار گیرند، حمایت از سنگ‌های کلاس I برداشته شده و مقاومت سازه بسیار کاهش پیدا می‌کند. به عنوان یک مثال اجرایی می‌توان به موج‌شکن سکویی چندلایه نسبتاً شکل‌پذیر Sirevåg در کشور نروژ اشاره کرد، که در آن سنگ‌های کلاس I در فاصله ۱-۱ متری از تراز ایستابی یعنی بالاتر از تراز نقطه تقاطع نیمرخ اولیه و نیمرخ تغییر شکل یافته خاتمه یافته است [۲۶]. تورام و همکاران [۲۶] و بورخارت [۱۱] نکته اشاره شده را به عنوان یک نقطه ضعف عمده در طراحی موج‌شکن Sirevåg معرفی کردند.



شکل ۱۰- مقایسه بزرگترین کلاس سنگ لایه آرمور در موج‌شکن سکویی چندلایه و لایه آرمور موج‌شکن



شکل ۱۱- تأثیر تراز سکو از سطح ایستابی بر پارامتر آسیب موج شکن سکویی چندلایه



شکل ۱۲- تأثیر تراز سکو از سطح ایستابی بر بازتاب امواج برخورده به سازه

همانطور که در تاریخچه مطالعات پیشین بیان شد، نتایج تحقیق‌های پژوهشگران دیگر بر روی موج شکن‌های سکویی همگن دینامیکی نشان داد که با افزایش تراز سکو، پرسفت عرض سکو کمتر شده است. به طور کلی تفاوت عملکرد این دو سازه را می‌توان ناشی از تفاوت رفتاری این دو سازه با عملکرد استاتیکی و یا دینامیکی دانست. علاوه بر مطلب ذکر شده، پارامتر مورد بررسی در بحث پایداری هیدرولیکی نیز برای دو موج شکن متفاوت است، به طوری که در موج شکن نوع همگن عمدتاً از عرض فرسایش یافته سکو استفاده می‌شود در حالی که در موج شکن نوع چندلایه، پارامتر آسیب مورد بحث است.

۴-۵- برسی تأثیر عمق آب پای سازه بر پایداری سازه با ثابت نگه داشتن حجم سنگ کلاس I

در تحقیق حاضر برای بررسی اثر عمق آب پای سازه بر پایداری موج-شکن سکویی چندلایه، چهار عمق آب مختلف ($0/26$, $0/28$, $0/30$ و $0/32$ متر) بررسی شده است. همچنین آزمایش‌های اولیه‌ای برای کنترل عدم وجود سربزی انجام شد. در آزمایش‌های مربوط به تغییر دیگر پارامترها، عمق آب پای سازه در کanal موج ثابت و برابر $0/28$ متر در نظر گرفته شد. شایان ذکر است که در بررسی اثر پارامتر عمق

اگر تراز آب به اندازه‌ای به سکوی موج شکن نزدیک شود ($h_{br} = 0.03 m$), که سکو بتواند در برابر امواج برخورده، کارایی مناسبی داشته باشد، در این صورت موج برخورده به سازه در طول سکوی متخلخل حرکت کرده و انرژی بیشتری از موج را مستهلك می‌کند. این امر منجر به کاهش نیروهای وارد بر سازه موج شکن و افزایش پایداری آن می‌شود. از طرف دیگر افزایش تراز سکو در موج شکن توده‌سنگی سنتی عمل کرده و سکوی موج شکن که نقش زیادی را در مستهلك کردن انرژی دارد، عملکرد و کارایی منابعی در استهلاک انرژی نداشته باشد، و در این حالت امواج برخورده مستقیماً به شیب پایین سکوی سازه برخورد خواهد کرد و آسیب زیادی به سازه وارد می‌شود. بورخارت [۱۱] و مقیم و لیک اندرسن [۹] نتایج مشابهی را برای موج شکن سکویی به سختی شکل‌پذیر و نسبتاً شکل‌پذیر بیان کردند.

مقایسه نتایج آزمایشگاهی برای دو حد بالا و پایین تراز سکو یعنی ترازهای $0/03$ متر و $0/07$ متر نشان می‌دهد، که در تراز سکوی کمتر، امواج در حین پروسه بالاروی، بر روی طول سکوی متخلخل و حتی شیب بالای سکو توزیع شده و منجر به استهلاک بیشتر انرژی موج برخورده می‌شود. همچنین راوو و همکاران [۱۶] نتیجه گرفتند، اگر تراز سکو به تراز ایستابی نزدیک باشد، مقدار پایین‌روی کاهش می‌یابد. بر عکس مطلب ذکر شده در حالت تراز سکویی بزرگتر، سکوی موج شکن شبیه یک مانع متخلخل در برابر امواج عمل کرده و عدم کارایی مناسب سکو، سبب کاهش میزان استهلاک انرژی موج خواهد شد. به منظور بررسی کمی تأثیر تراز سکو از سطح ایستابی بر مقدار استهلاک انرژی موج برخورده، نتایج بازتاب امواج برخورده به سازه برای ترازهای متفاوت سکو در شکل ۱۲ نشان داده شده است. به طور معمول بازتاب موج با استفاده از ضریب بازتاب موج بصورت نسبتی از ارتفاع موج بازتابیده شده (H_r) به ارتفاع موج تابشی (H_i) $C_r = \frac{H_r}{H_i}$ تعریف می‌شود. نتایج نشان می‌دهند که در اثر افزایش تراز سکو، بازتاب موج برخورده افزایش یافته و در نتیجه استهلاک انرژی کمتری از موج برخورده توسط سازه موج-شکن اتفاق می‌افتد. بنابراین مزیت دیگری که ایجاد یک سکو در موقعیتی بهینه نسبت به تراز آب ایجاد می‌کند، کاهش بازتاب امواج به مقدار قابل توجه است که خود مزیت مهمی محسوب می‌شود. زیرا برهم کنش امواج تابشی و بازتابی باعث بوجود آمدن محیطی متلاطم در جلوی سازه می‌شود که می‌تواند پهلوگیری شناورها را با مشکل مواجه کرده و باعث فرسایش، آب‌شستگی و در نهایت ناپایداری سازه شود.

$$\begin{cases} H_o = 1.31 - 2.6 \\ H_o \sqrt{T_o} = 5.74 - 13.56 \\ h_{br} / D_{n50I} = 1.11 - 2.59 \\ d / D_{n50I} = 9.63 - 11.86 \\ B / D_{n50I} = 7.4 \\ h_l / H_s = 1.36 - 2.68 \end{cases} \quad (3)$$

۵- نتیجه‌گیری

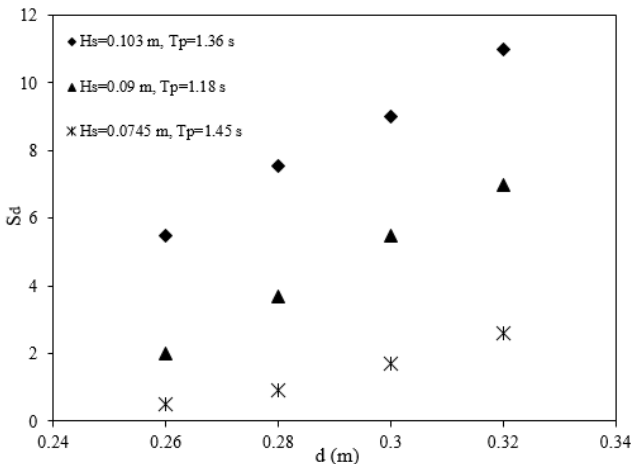
مطالعه حاضر با هدف ارزیابی پایداری هیدرولیکی موج شکن سکویی چندلایه پایه‌ریزی شده است. برای رسیدن به این هدف، تأثیر پارامترهای مختلف مانند ارتفاع سنگ کلاس I، تراز سکو از سطح ایستابی و عمق آب پای سازه بواسطه مدل سازی آزمایشگاهی در کanal موج، تحت اثر امواج نامنظم بررسی شده و به بینشی مناسب از نحوه اثرگذاری این پارامترها و مکانیسم عملکردی آن‌ها بر پایداری موج شکن سکویی چندلایه منتج شده است. درنهایت در تحقیق حاضر، نتایج زیر به دست آمده‌اند:

۱- در موج شکن سکویی چندلایه در قسمت سکوی موج شکن یعنی در محدوده تراز بالاروی و پایین‌روی موج، بزرگترین بلوك‌های سنگی (سنگ کلاس I) جایابی می‌شوند، که نقش اصلی را در مستهلک کردن انرژی امواج ایفا می‌کنند. از این‌رو، تغییر در ارتفاع سنگ کلاس I اثر مستقیمی بر عملکرد موج شکن داشته و برای اولین بار در این مطالعه، ارتفاع سنگ کلاس I به عنوان یک پارامتر جدید معرفی شده است.

۲- در مطالعه نحوه اثر پارامترهای تراز سکو از سطح ایستابی و یا عمق آب پای سازه بر پایداری موج شکن سکویی چندلایه، حجم سنگ‌دانه‌های کلاس I باید ثابت باقی بماند. برای این منظور ضروری است که ارتفاع سکوی سازه صرفاً با اضافه کردن و یا کم کردن سنگ‌های لایه‌های پایین‌تر مانند سنگ‌های کلاس II و III، که نقش کمتری در تحمل بارهای هیدرودینامیکی وارد دارند، انجام شود.

۳- در بررسی تأثیر ارتفاع کلاس I بر پایداری سازه مشاهده شد، با افزایش ارتفاع کلاس I در یک ترکیب ثابت موج، مقدار پارامتر آسیب روند کاهشی یافته و از جایی به بعد تغییرات ناچیزی در نتایج، برای ترکیب‌های مختلف امواج دیده شده است. از این‌رو می‌توان دریافت که بکار بردن بلوك‌های سنگی با تناظر بالا در بخش‌های پایینی لایه آرمور نه تنها نقشی در افزایش پایداری سازه ایفا نمی‌کند، بلکه منتج به هزینه زیادی نیز خواهد شد. نکته حاضر می‌تواند به عنوان مزیت اساسی موج شکن سکویی چندلایه نسبت به نوع توده سنگی سنتی بیان شود.

آب پای سازه، با تغییر این پارامتر، سایر پارامترها از جمله ارتفاع کلاس I و تراز سکو از سطح ایستابی ثابت بودند و صرفاً ارتفاع دو کلاس سنگ II و III در قسمت پایین سازه تغییر می‌کردند. شکل ۱۳ تأثیر پارامتر عمق آب پای سازه بر مقدار پارامتر آسیب سازه را نشان می‌دهد. همانطور که در شکل مشخص است عمق آب پای سازه پارامتر بسیار مهمی در بررسی پایداری سازه بوده به طوری که با افزایش عمق آب پای سازه، پارامتر آسیب سازه نیز افزایش می‌یابد. به گونه‌ای که با افزایش تقریباً ۲۳ درصدی عمق آب پای سازه در ترکیب موج $H_s = 0.09m, T_p = 1.18s$ ، مقدار سطح فرسایش یافته آرمور به میزان ۲۵۰ درصد بیشتر شده است. براساس تحقیق هیووس [۳۰]. یکی از پارامترهای مهم در بحث اندرکنش موج با سازه، مقدار شار تکانه بیشینه است که رابطه مستقیمی با نیروی وارد بر سازه دارد. زمانی که عمق آب پای سازه بیشتر می‌شود، مقدار شار انرژی موجود بیشتر شده و موج نیروی بزرگتری به سازه وارد می‌کند. افزایش نیروی وارد بر سازه موج شکن، باعث ایجاد نیروی محرك بزرگتر بر ذرات سنگی سازه شده و منجر به افزایش سطح فرسایش یافته سازه می‌شود. همچنین مشاهده‌های آزمایشگاهی حاضر نشان می‌دهند که تغییر عمق آب پای سازه، تأثیری اساسی بر میزان بالاروی و پایین‌روی موج بر سازه دارد، به‌طوری که با افزایش عمق آب، میزان بالاروی و پایین‌روی بیشتری حاصل شده و منجر به ایجاد آسیب بیشتر و در نتیجه کاهش پایداری سازه می‌شود.



شکل ۱۳- تأثیر عمق آب پای سازه بر سطح آسیب موج شکن سکویی چندلایه

لازم به ذکر است که نتایج به دست آمده در مطالعه حاضر براساس شرایط محیطی و سازه‌ای در نظر گرفته شده برای آزمایش‌های صورت گرفته در این تحقیق که بصورت رابطه ذیل ذکر شده، معتبر بوده و قابل کاربرد است.

10- Peak enhancement factor

۷- مراجع

- 1- Baird, W.F. and Hall, K.R., (1984), *The design of breakwaters using quarried stones*, Proceedings of the 19th International Conference on Coastal Engineering, Houston. Ch. 173.
- 2- Lykke Andersen, T., (2006), *Hydraulic Response of Rubble Mound Breakwaters. Scale Effects – Berm Breakwaters*, PhD Thesis, Department of Civil Engineering, Aalborg University, Denmark.
- 3- Sveinbjörnsson, P.I., (2008), *Stability of Icelandic type berm breakwaters*, Master Thesis, Department of Hydraulic Engineering, Delft University of Technology, Netherlands.
- 4- PIANC, (2003), *State-of-the-Art of Designing and Constructing Berm Breakwaters*, International Navigation Association, Brussels, Belgium.
- 5- Sigurdarson, S., Smarason, O.B. and Viggosson, G., (2000), *Design considerations of berm breakwaters*, Proc. of the 27th International Conference on Coastal Engineering, Sidney, Australia, p.1610-1621.
- 6- Tørum, A., Kuhnen, F. and Menze, A., (2003), *On berm breakwaters. Stability, scour, overtopping*, Coastal engineering, Vol.49, p.209-238.
- 7- Lykke Andersen, T. and Burcharth, H.F., (2010), *A new formula for front slope recession of berm breakwaters*, Coastal engineering, Vol.57, p.359-374.
- 8- Sigurdarson, S. and van der Meer, J.W., (2011), *Front slope stability of the Icelandic-type berm breakwater*, Proceedings of Coastal Structures, ASCE, Yokohama, Japan, p.435-446.
- 9- Moghim, M.N. and Lykke Andersen, T., (2015), *Armor stability of hardly (or partly) reshaping berm breakwaters*, Coastal engineering, Vol.104, p.1-12.
- 10- Sigurdarson, S., Mocke, R., Primmer, M. and Gretarsson, S., (2011), *The Icelandic-type berm breakwater*, Proceedings of the 20th Australasian Coastal and Ocean Engineering Conference and the 13th Australasian Port and Harbour Conference, Perth, Australia.
- 11- Burcharth, H.F., (2013), *On front slope stability of berm breakwaters*, Coastal Engineering, Vol.77, p.71–76.
- 12- Van der Meer, J.W. and Pilarczyk, K.W., (1986), *Dynamic stability of rock slopes and gravel beaches*, Proc. of the 20th International Conference on Coastal Engineering, ASCE, Taipei, Taiwan, p.1713–1726.
- 13- Sigurdarson, S. and van der Meer, J.W., (2012), *Wave overtopping at berm breakwaters in line with Eurotop*. Coastal Engineering Proceedings, ASCE, Spain.
- 14- Broderick, L.L., (1983), *Rip Rap Stability, a Progress Report*. Proceedings of the Coastal Structures, ASCE, p.320–330.

۴- در این تحقیق توصیه شد که ارتفاع کلاس I در موج شکن سکویی چندلایه باید حداقل تا ترازی پایین تر از پارامتر ارزیابی عمق فرسایش سازه (h_f) ادامه یابد.

۵- با افزایش تراز سکو از سطح ایستایی در یک ترکیب ثابت موج، مقدار آسیب وارد به سازه بیشتر شده است. به عنوان مثال در ترکیب موج $H_s = 0.09m$, $T_p = 1.18s$ با ۴۰ درصد افزایش در مقدار تراز سکو، مقدار سطح آسیب وارد بر سازه به میزان ۶۷ درصد افزایش یافته است. اگر تراز آب به اندازه‌ای به سکویی موج شکن نزدیک شود که سکو بتواند در برابر امواج برخوردی اثرگذار واقع شود و کارایی مناسبی داشته باشد، تأثیر زیادی بر استهلاک انرژی دارد. از طرف دیگر به دلیل عملکرد استاتیکی موج شکن سکویی چندلایه، افزایش تراز سکو باعث می‌شود که سازه به مانند یک موج شکن توده‌سنگی سنتی عمل کرده و سکویی موج شکن کارایی چندانی در استهلاک انرژی موج نداشته باشد.

۶- نتایج مطالعه حاضر نشان می‌دهد که با افزایش عمق آب پای سازه، سطح آسیب سازه نیز افزایش می‌یابد. عمق آب پای سازه با مقدار شار انرژی موج رابطه مستقیم دارد، به طوری که با افزایش عمق آب پای سازه، شار انرژی موج و در نتیجه نیروی وارد بر سازه بیشتر شده و متعاقب آن سطح فرسایش یافته آرمور در موج شکن افزایش چشمگیری می‌یابد. به گونه‌ای که با افزایش تقریباً ۲۳ درصدی عمق آب پای سازه در ترکیب موج $H_s = 0.09m$, $T_p = 1.18s$ ، مقدار سطح فرسایش یافته آرمور به میزان ۲۵۰ درصد بیشتر شده است.

۶- تشکر و قدردانی

نویسنده‌گان مقاله، مراتب تشکر و قدردانی خود را از صندوق حمایت از پژوهشگران و فناوران کشور (INSF) و دانشگاه صنعتی اصفهان برای حمایت مالی انجام گرفته از این پژوهه اعلام می‌دارند. همچنین از دانشگاه تربیت مدرس تهران به منظور فراهم آوردن تجهیزات لازم برای انجام آزمایش‌های مربوط به این تحقیق تقدیر می‌شود.

کلیدواژگان

- 1- Mass armored
- 2- Icelandic
- 3- Fully reshaping
- 4- Partly reshaping
- 5- Hardly reshaping
- 6- Hardly reshaping Icelandic berm breakwater
- 7- Partly reshaping Icelandic berm breakwater
- 8- Partly reshaping mass-armored berm breakwater
- 9- Fully reshaping mass-armored berm breakwater

- 23- Shekari, M.R. and Shafieefar, M., (2013), *An experimental study on the reshaping of berm breakwaters under irregular wave attacks*, Applied Ocean Research, Vol.42, p.16–23.
- 24- Thomsen, J.B., Røge, M.S., Christensen, N.F., Lykke Andersen, T. and Van der Meer, J.W, (2014), *Stability of hardly reshaping berm breakwaters exposed to long waves*, Coastal Engineering Proceedings, p.65.
- 25- Van der Meer, J.W. and Sigurdarson, S., (2016), *Design and Construction of Berm Breakwaters*, World Scientific Publishing Company.
- 26- Tørum, A., Arntsen, Ø.A., Mathiesen, M. and Bjørdal, S., (2003), *Sirevåg berm breakwater, Comparison Between Physical Model and Prototype Behavior*, Norwegian University of Science and Technology, Department of Civil and Transport Engineering, Norway.
- 27- Mansard, E.P.D. and Funke, E.R., (1980), *The measurement of incident and reflected spectra using a least squares method*. Proceedings of the 17th Coastal Engineering Conference, Sydney, Australia, p.154-172.
- 28- Dai, Y.B. and Kamel, A.M., (1969), *Scale Effect Tests for Rubble Mound Breakwaters*. U. S. Army Engineer Waterway Experiment Station, Corps of Engineers, Vicksburg, Mississippi, Research Report H-69-2.
- 29- Jensen, O.J. and Klinting, P., (1983), *Evaluation of scale effects in hydraulic models by analysis of laminar and turbulent flow*. Coastal Engineering, Vol.7, p.319–329.
- 30- Hughes, S.A., (2004), *Wave momentum flux parameter: A Descriptor for Nearshore Waves*. Coastal. Engineering. Vol.51, p.1067-1084.
- 15- Hudson, R.Y., (1959), *Laboratory investigation of rubble-mound breakwaters*, Journal of the Waterways and Harbors Division of ASCE, p.93-121.
- 16- Van Der Meer, J.W., (1988), *Rock slopes and gravel beaches under wave attack*. PhD Thesis, Delft University of Technology, Also: Delft Hydraulics Communication No. 396.
- 17- Juhl, J. and Sloth, P., (1998), *Berm breakwaters. Influence of stone gradation, permeability and armouring*, Proc. of the 26th International Conference on Coastal Engineering. ASCE, Copenhagen, Denmark, p.1394 – 1406.
- 18- Sigurdarson, S., van der Meer, J.W., Burcharth, H.F. and Sørensen, J.D, (2007), *Optimum safety levels and design rules for the Icelandic-type berm breakwaters*, Proceedings of the 5th International Conference of Coastal Structures, Venice, Italy, 2–4 July. World Scientific.
- 19- Rao, S., Subrahmanyam, K., Rao, B.K. and Chandramohan, V.R., (2008), *Stability aspects of nonreshaped berm breakwaters with reduced armor weight*, Journal of Waterway, Port, Coastal, Ocean Engineering, Vol.134, p.81-87.
- 20- Sigurdarson, S., van der Meer, J.W., Tørum, A. and Tomasicchio, R., (2008), *Berm Recession of the Icelandic-type Berm Breakwater*, ASCE, Proc. ICCE, Hamburg.
- 21- Moghim, M.N., Shafieefar, M., Torum, A. and Chegini, V., (2011). *A new formula for the sea state and structural parameters influencing the stability of homogeneous reshaping berm breakwaters*. Coastal Engineering, Vol.58, p.706–721.
- 22- Tørum, A., Moghim, M.N., Westeng, K., Hidayati, N. and Arntsen, Ø.A., (2012). *On Berm Breakwaters: Recession, Crown Wall Wave Forces, Reliability*, Coastal. Engineering, Vol.60, p.299–318.